

秋田大学 正員 色部 誠
・秋田大学 正員 薄木 征三

1. まえがき 秋田市海岸地区に建設された高さ 150m の東北電力秋田火力発電所 1号機用煙突に風速計と加速度計を設置し、煙突の挙動の測定を行っている。風による風力を入力として、多質点系構造物との煙突の応答をスペクトル解析によって表現し、実測値との比較を行った。

2. 多質点系線形構造物の応答スペクトル理論

上記火力発電所用煙突の縮図を図-1(a)に示す。縮尺 1/1500。二の様な構造は多質点の片持梁として置換されるようが、さうに一般的な曲げと軸力を負担する図-1(b)の様な平面多質点系構造物を考えてみる。この種の構造物でスペクトル解析の対象となる不規則な外力を受けるものとしては、架設途中のビルの鉄骨(風)、海中に建設されたラーメン構造物(波)などがあろう。

図-1(b)で x 軸方向の運動を考えると振動方程式は

$$m\ddot{u} + C\dot{u} + Rf u = f \quad (1)$$

ここで m は質量マトリックス、 C は減衰定数マトリックス

クス、 Rf は剛性マトリックス、 f は外乱ベクトルである。 $Rf(t)$ は周波数応答関数マトリックス、 $H(\omega)$ をそのフーリエ変換としての複素周波数応答関数マトリックスとする。外乱 f が定常エルゴード過程に従うとするとき入力 f と出力 u の各々の相互相関マトリックス $Rf(z)$ と $Ru(z)$ との間の関係は次のようく表わされる。では lag である。

$$Ru(z) = \iint_{-\infty}^{\infty} h(z)(Rf(z+2\pi z) - Rf(z))h^T(z) dz dz \quad (2)$$

相互パワースペクトルマトリックス $S_f(\omega)$ と $S_u(\omega)$ との間の関係は次のようである。

$$S_u(\omega) = H^*(\omega) S_f(\omega) H(\omega) \quad (3)$$

$H^*(\omega)$ は $H(\omega)$ の共役マトリックスである。加速度応答相互パワースペクトルマトリックスは

$$S_{\ddot{u}}(\omega) = \omega^4 S_u(\omega) \quad (4)$$

と表わされる。さうに $S_u(\omega)$ を使って部材各点における断面力(又は応力、歪)に関するパワースペクトルを表現できるがこの点については文献(1)を参照されたい。

特に式(1)を modal Analysis を用いて解く場合は簡単に解かれて $H(\omega)$ における行列式の要素 $H_{ij}(\omega)$ は

$$H_{ij}(\omega) = \sum_{r=1}^n \frac{\bar{m}_{ir} \bar{m}_{jr}}{M_r(\omega) = \omega^2 + 2\zeta_r \omega_r \omega_r} \quad (5)$$

1) 鉄塔支持型煙突の風による振動測定・解析 色部, 薄木, 藤本他 構造物の耐風性に関する国際会議論文集 1970.5.

式(5)と式(3)を代入すれば $S_{kj}(w)$ の各行の要素は次のようになります。

$$S_{kj}(w) = \sum_{r=1}^n \sum_{s=1}^m S_{frs}(w) \sum_{h=1}^H \sum_{l=1}^L \frac{F_{jh} F_{sh} M_r M_l (w_h^2 - w_l^2 + 2\zeta_j w_h w_l)(w_h^2 w_l^2 + 2\zeta_j w_h w_l)}{M_r M_l (w_h^2 - w_l^2 + 2\zeta_j w_h w_l)(w_h^2 w_l^2 + 2\zeta_j w_h w_l)} \quad (6)$$

式(4)における加速度応答マトリックスの各行の要素は

$$S_{ijk}(w) = w^2 S_{kj}(w) \quad (7)$$

式(5), (6)で ζ_{kj} および j 次の固有モードの質量 m_j に付随する値であり, ζ_j , w_j は j 次の減衰定数, 固有振動数である。又 $M_r = \sum_i m_i \delta_{ir}$ で m_i は質点 i の質量である。

3. 鋼塔支持型煙突の解析及び実測

I) 鋼塔支持型煙突の諸定数 図-1(a)に示す本火力発電所用煙突は筒身をトラスで支持する構造であり、地表から 25.5 m, 46.0 m, 76.0 m, 100.0 m, 119.0 m, 150 m の 6か所でビンディングと見なしうる構造によって両者が連結され、筒身の座屈を防止し、その自重の一部をトラスに負担される構造になっていふ。

風速計と加速度計の位置を制約から煙突を地表 76 m, 135 m に質点を持つ 2 質点系に置換した。煙突の諸定数は以下のようにある。

$$\text{固有値 } w_1 = 5.927/\text{sec}, w_2 = 15.241/\text{sec}$$

$$\text{減衰定数 } \zeta_1 = 0.014, \zeta_2 = 0.036$$

$$\text{モード } \bar{M} = \begin{bmatrix} 0.09071 & 0.44118 \\ 0.18945 & -0.44300 \end{bmatrix}$$

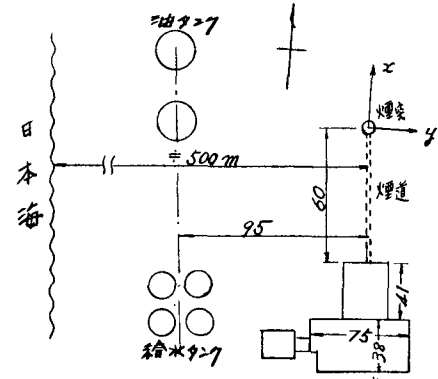


図-2

固有値、モードは 2 質点系にて計算された値であり、 ζ_1 は集剛 $J_1 = 23$ 。 ζ_2 は $J_2 = \zeta_1 w_2 / w_1$ より推定した。 \bar{M} は質点の重量は $W_1 = 264.7 t$, $W_2 = 65.5 t$ である。

II) 風速及び加速度応答の実測 風速計及び加速度計は地表より 76 m, 135 m の 2 か所に設置され、互に直角の x, y, z 方向成分が地面上の観測室で同時に記録されるようになつてゐる。x, y 方向と方位の関係及び煙突の様子を図-2 に示す。

風速計の設置は 1970 年 2 月に始められ 4 月に完了した。海上重機社製 PA-211-1 水平 2 成分超音波風速計であり分解能は $\pm 2 \text{ cm/sec}$ 以上、精度 $\pm 3\%$ 以上、測定周波数 $0 \sim 100 \text{ c/sec}$ の性能を持つ。加速度計は明石社製水平 2 成分自動記録型であり東北電力(株)によつて設置された。

III) 外乱 $f(t)$ の評価について 外乱 $f(t)$ は V_i は質点 i における平均風速、 $v_i(t)$ は V_i の変動分、 A_{ij} 、 C_{ij} を投影面積、抗力係数とし、 $C_{ij} = \rho A_{ij} C_{dij} / Z$ (ρ 空気密度) とおくと線形近似式

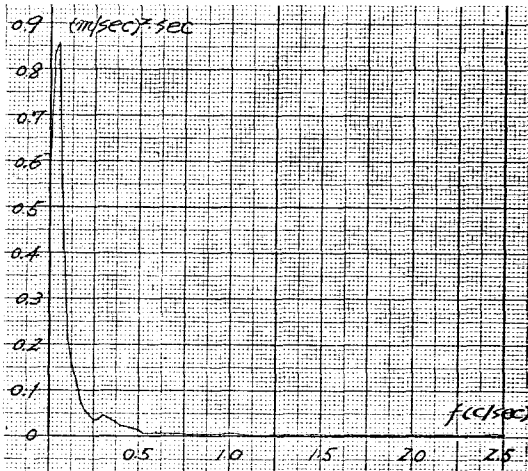
$$f(t) = \{Z C_{11} V_1 v_1(t), Z C_{21} V_2 v_2(t), \dots, Z C_{n1} V_n v_n(t)\}$$

を用いた。ここで $A_1 = 541.1 \text{ m}^2$, $A_2 = 213.1 \text{ m}^2$ である。

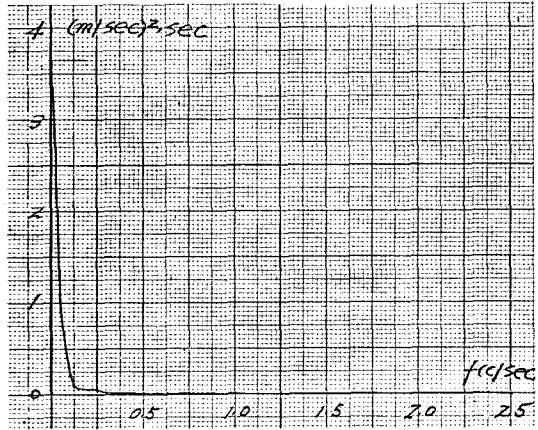
C_{dij} は既定し、107-スペクトルの解析値と実測値から逆算すると $C_{d1} = C_{d2} \times 1.35$ で 2.5 である。この値は従来提案されてゐる実験値と一致しない。1/250 全体模型による室内風洞実験の値約 2.5 は一致してゐる。

4. 実測及解析結果

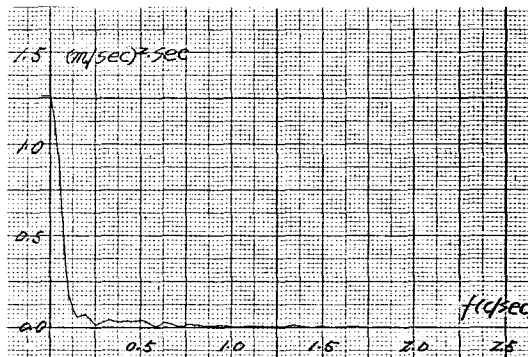
I) 風の 10° ウェーブペクトル 標高 76m 及び 135m の 1970 年 5 月 2 日に測定された x, y 2 成分の 10° ウェーブペクトルを 図-3(a)～(d) に示す。測定時間は 3 分で 0.2 秒毎に計測値を統計取扱いし、1 成分で 900 個、 f と θ は 203. lag θ の最大値はデータ個数の約 10%，即ち 20 秒である。従って周波数 f の解析範囲は 0～2.5 c/sec であり、実験の 1 次と 2 次の固有周期を含む。



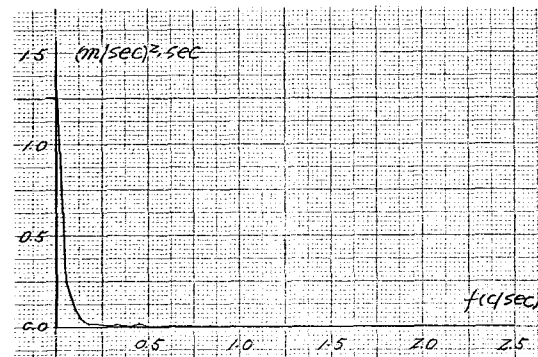
(a) x direction at EL 76 m



(b) y direction at EL 76 m



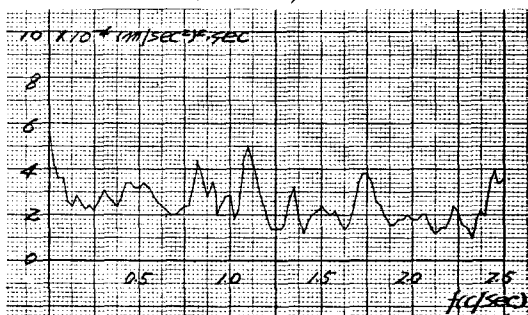
(c) x direction at EL 135 m



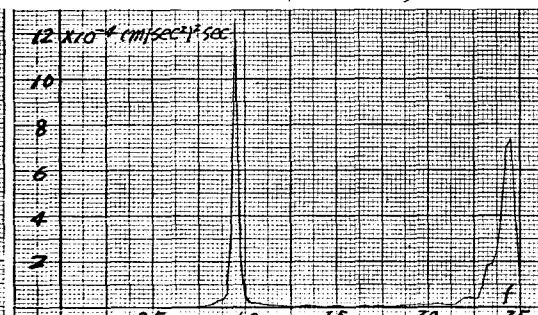
(d) y direction at EL 135 m

図-3 POWER SPECTRUM OF WIND

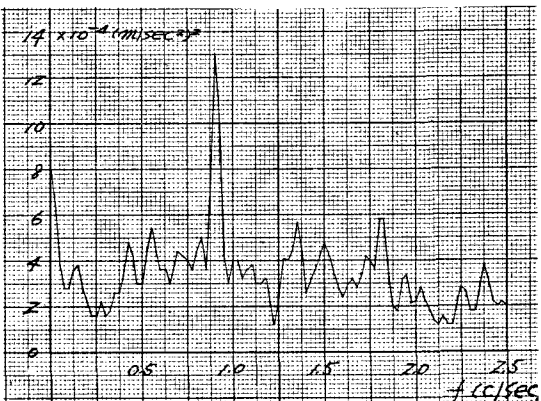
II) 加速度の 10° ウェーブペクトル 図-4(a)～(b) に左列は実測値、右列は計算値を示す。



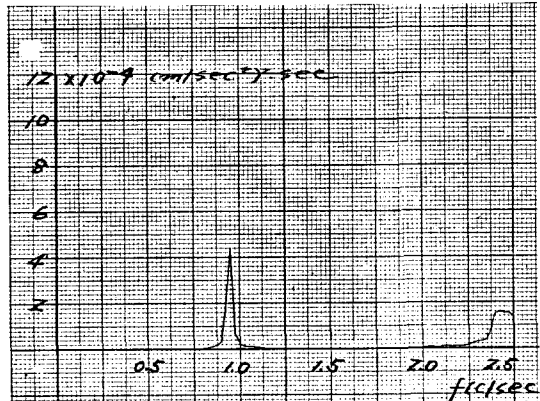
(a) x direction at EL 76 m



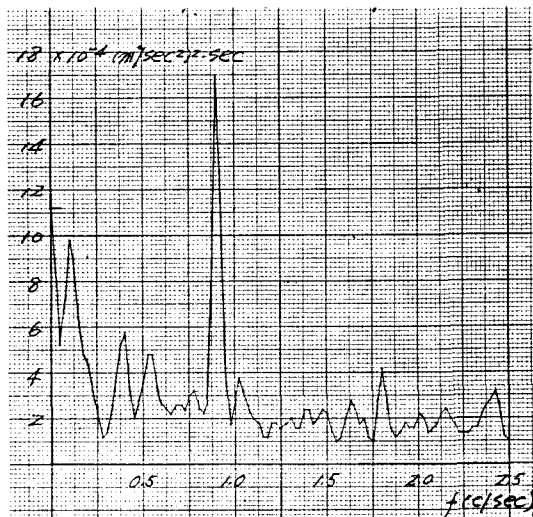
(b) theoretical



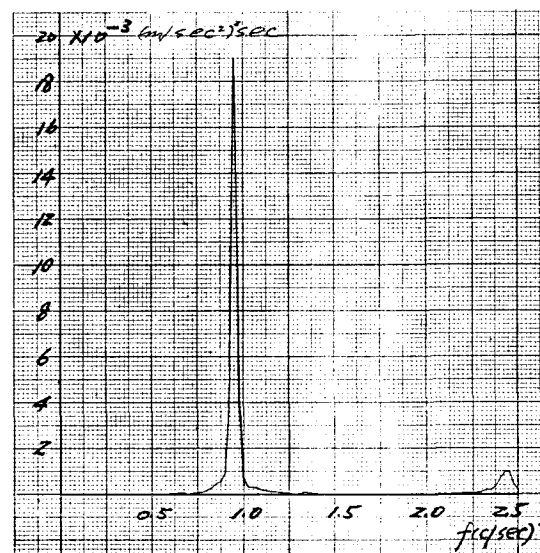
(c) y direction at EL 76m



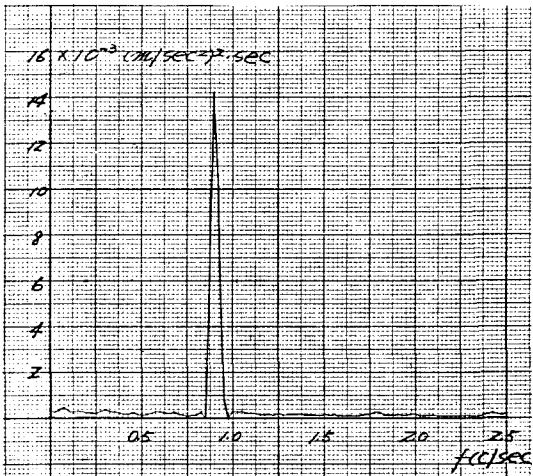
(d) theoretical



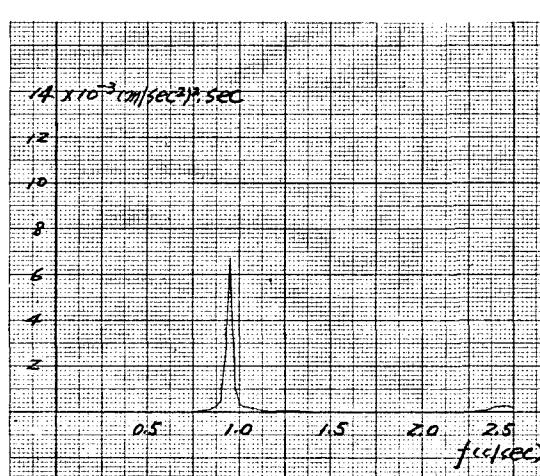
(e) x direction at EL 135m



(f) theoretical



(g) y direction at EL 135m



(h) theoretical
POWER SPECTRUM OF RESPONSE \ddot{u}